



## Evaluation of the Inhibitory Effects of Zinc Oxide Nanoparticles on Biofilm Formation of Some Foodborne Bacterial Pathogens

**Maryam Abbasvali<sup>1</sup>, Azizollah Ebrahimi Kahrizsangi<sup>2</sup>, Fatemeh Shahriyari<sup>3</sup>**

1. Department of Food Hygiene and Quality Control, Faculty of Veterinary Medicine, Shahrekord University, Shahrekord, Iran
2. Department of Pathobiology, Faculty of Veterinary Medicine, Shahrekord University, Shahrekord, Iran
3. Faculty of Veterinary Medicine, Shahrekord University, Shahrekord, Iran

### Article Information

#### Article history:

Received: 2016/10/26

Accepted: 2017/10/02

Available online: 2017/11/20

#### Article Subject:

Antimicrobial Substances

**IJMM 2017; 11(5): 115-124**

#### Corresponding author:

Maryam Abbasvali

**Department of Food Hygiene and Quality Control, Faculty of Veterinary Medicine, Shahrekord University, Shahrekord, Iran**

**Tel:** 038-32324427

#### Email:

abbasvali@sci.sku.ac.ir

### Abstract

**Background and Aims:** One of the most important factors in food industry is the formation of microbial biofilm which can be the potential source of food products contamination with food spoilage and foodborne pathogenic bacteria. This study was conducted to evaluate the inhibitory effects of zinc oxide nanoparticles on biofilm formation of some foodborne bacterial pathogens.

**Materials and Methods:** This research was carried out in 2015. Minimum inhibitory concentration (MIC) of zinc oxide nanoparticles for *E. coli* (ATCC 35218), *Staphylococcus aureus* (ATCC 6538), *Salmonella typhimurium* (ATCC 14028) and *Bacillus cereus* (ATCC 14579) was determined by using 96-well microplate and resazurin reduction method. Biofilm formation inhibition was assessed with microtiter plate method based on crystal violet staining and measurement of optical density using microplate reader.

**Results:** MIC of zinc oxide nanoparticles for the above mentioned bacteria was respectively 1,  $\leq 0.5$ , 1 and 2 mg/mL. The inhibition percentages of biofilm formation at the MIC of the nanoparticles were 90.20, 85.69, 83.65 and 61.96, respectively.

**Conclusions:** In this study, zinc oxide nanoparticle showed the ability to inhibit the formation of biofilm even in sub inhibitory concentrations or Sub-MICs. No significant difference ( $P>0.05$ ) was observed in the biofilm inhibitory effects of ZnO nanoparticles at MIC and  $\frac{1}{2}$ MIC between *E. coli* and *S. aureus*. Results of this study showed the inhibitory effects of zinc oxide nanoparticles on biofilm formation of the studied foodborne bacterial pathogens. According to the importance of these bacteria in public health, ZnO nanoparticle can be used as a cleaning agent for the surfaces, apparatus and production lines in food plants in order to prevent foodborne bacterial biofilm formation.

**KeyWords:** *Biofilm, Foodborne bacterial pathogen, Inhibitory effect, Zinc oxide nanoparticle*

Copyright © 2017 Iranian Journal of Medical Microbiology. All rights reserved.

#### How to cite this article:

Abbasvali M, Ebrahimi Kahrizsangi A, Shahriari F. Evaluation of the Inhibitory Effects of Zinc Oxide Nanoparticles on Biofilm Formation of Some Foodborne Bacterial Pathogens . Iran J Med Microbiol. 2017; 11 (5) :115-124

## بررسی اثر مهاری نانو ذره اکسید روی در تشکیل بیوفیلم برخی باکتری‌های بیماری‌زای غذازاد

مریم عباس والی<sup>۱</sup>, عزیزاله ابراهیمی کهریزسنگی<sup>۲</sup>, فاطمه شهریاری<sup>۳</sup>

۱. گروه بهداشت و کنترل کیفیت مواد غذایی، دانشکده دامپزشکی، دانشگاه شهرکرد، شهرکرد، ایران

۲. گروه پاتوبیولوژی، دانشکده دامپزشکی، دانشگاه شهرکرد، شهرکرد، ایران

۳. دانشآموخته دانشکده دامپزشکی، دانشگاه شهرکرد، شهرکرد، ایران

## چکیده

## اطلاعات مقاله

**زمینه و اهداف:** یکی از مسائل مهم در صنعت غذا، تشکیل بیوفیلم میکروبی است که می‌تواند منبع بالقوه آلودگی و عامل انتقال باکتری‌های عامل فساد و بیماری‌زای غذازاد باشد. این مطالعه با هدف بررسی اثر مهاری نانو ذره اکسید روی در تشکیل بیوفیلم برخی باکتری‌های بیماری‌زای غذازاد انجام گرفته است.

**مواد و روش کار:** در این مطالعه که در سال ۱۳۹۴ انجام شد، حداقل غلظت مهارکنندگی رشد نانو ذره اکسید روی علیه اشربیشیا کلی (ATCC 35218)، استافیلوکوکوس اورئوس (ATCC 6538)، سالمونلا تیفی موریوم (ATCC) و پاسیلوس سرئوس (ATCC 14579)، به روش Broth Microdilution (ATCC)، روش ریزازورین اندازه‌گیری شد. اثر مهاری نانو ذره اکسید روی بر تشکیل بیوفیلم باکتری‌ها به روش میکروتیتر پلیت از طریق رنگ‌آمیزی با کریستال بولوله و اندازه‌گیری جذب نوری ارزیابی شد.

**یافته‌ها:** حداقل غلظت مهارکنندگی رشد برای باکتری‌های بررسی شده بالا، به ترتیب ۱ و ۰/۵٪ ۱ و ۰/۵٪ میلی‌گرم در میلی‌لیتر و درصد مهار تشکیل بیوفیلم در حداقل غلظت مهارکنندگی رشد، به ترتیب ۰/۲۰٪ ۰/۲۰٪ ۰/۸۳٪ ۰/۶۵٪ ۰/۸۵٪ ۰/۶۹٪ ۰/۶۱٪ درصد محاسبه شد.

**نتیجه‌گیری:** نانو ذره اکسید روی در غلظت‌های پایین‌تر از حداقل غلظت مهارکنندگی رشد نیز توانایی مهار تشکیل بیوفیلم را نشان داد و در باکتری‌های استافیلوکوکوس اورئوس / اشربیشیا کلی، با غلظت نصف حداقل غلظت مهارکنندگی رشد در مقایسه با غلظت برابر با حداقل غلظت مهارکنندگی رشد آن، تفاوت آماری معنی‌داری را در توانایی مهار تشکیل بیوفیلم نشان نداد ( $P > 0/05$ ). نتایج، اثر ضد میکروبی نانو ذره اکسید روی در مهار تشکیل بیوفیلم باکتری‌های بیماری‌زای غذازاد بررسی شده را تأیید کرد. با توجه به اهمیت این باکتری‌ها در سلامت جامعه، می‌توان برای جلوگیری از تشکیل بیوفیلم، از این ترکیب برای پاک‌سازی سطوح، دستگاه‌ها و خطوط تولید در کارخانه‌های مواد غذایی استفاده کرد.

**کلمات کلیدی:** اثر مهاری، باکتری بیماری‌زای غذازاد، بیوفیلم، نانو ذره اکسید روی

کپیرایت ©: حق چاپ، نشر و استفاده علمی از این مقاله برای مجله میکروب‌شناسی پزشکی ایران محفوظ است.

## تاریخچه مقاله

دریافت: ۱۳۹۵/۰۸/۰۵

پذیرش: ۱۳۹۶/۰۷/۱۰

انتشار آنلاین: ۱۳۹۶/۰۸/۲۹

## موضوع:

مواد ضد میکروبی

IJMM 1396; 11(5): 115-124

## نویسنده مسئول:

مریم عباس والی

گروه بهداشت و کنترل کیفیت مواد غذایی، دانشکده دامپزشکی، دانشگاه شهرکرد، شهرکرد، ایران

تلفن: ۰۳۸-۳۲۳۲۴۴۲۷

## پست الکترونیک:

abbasvali@sci.sku.ac.ir

## مقدمه

و ماتریکس خارج سلولی تشکیل می‌دهند که شامل همه انواع مواد تولیدشده در آن‌ها مانند پروتئین‌ها و پلی‌ساقاریدهای است. این توده‌ها در برابر دوزهای بالای آنتی‌بیوتیک مقاومت می‌کنند. بیوفیلم ممکن است بر طیف گسترده‌ای از سطوح، از جمله سیستم‌های آبی طبیعی، بافت‌های بدن، دستگاه‌های پزشکی و صنعتی، سیستم آب آشامیدنی و تقریباً هر سطحی تشکیل شود. بیوفیلم‌ها می‌توانند به صورت بی‌ضرر، بیماری‌زا و یا تولیدکننده توکسین در داخل ماتریکس مطرح باشند (۴). بیوفیلم در زمینه‌های زیستمحیطی، صنعتی و بالینی اهمیت دارد (۵). حفظ اینمی ماده غذایی و کیفیت آن در دوره ماندگاری، مسئله‌ای است که متخصصین صنعت غذا و مسئولین سلامت

بیوفیلم (Biofilm)، اجتماع یا ماتریکس پیچیده‌ای از میکرووارگانیسم‌ها و تولیدات میکروبی آن‌هاست که به سطحی متصل شده است (۱). بیوفیلم‌های باکتریایی در سال ۱۹۷۸ توسط کاسترتون (Costerton) شرح داده شدند. باکتری‌های تشکیل‌دهنده بیوفیلم می‌توانند از اجتماع یک گونه واحد یا چند گونه متفاوت باشند (۲). زمانی که سلول‌های جدا از هم به سطح متصل شوند، بیوفیلم باکتریایی تشکیل می‌شود. ظرفیت سلول برای انجام این واکنش اولیه به عوامل محیطی مانند دما، pH و عوامل ژنتیکی دارد که فعالیت‌های جنبشی، حساسیت به محیط، پیوندهای پروتئین‌ها و پروتئین‌های دیگر باکتری را رمزگذاری می‌کنند (۳). توده‌های باکتریایی کاملاً به یکدیگر متصل می‌شوند

اهمیت دارد. ظهور مقاومت باکتری‌ها در برابر ترکیبات ضد میکروبی به‌وضوح نشان می‌دهد که استراتژی جدیدی برای کنترل بیوفیلم مورد نیاز است.

پیشرفت‌های اخیر در زمینهٔ نانو تکنولوژی، به‌ویژه توانایی ساخت نانو ذرات در شکل‌ها و سایزهای مختلف منجر به ایجاد دستهٔ وسیعی از عوامل ضد میکروبی شده است. مواد در ابعاد نانو، نسبت سطح به حجم بیشتری در مقایسه با ذرات بزرگ‌تر همان ترکیب شیمیایی دارند و همین موجب می‌شود تا از نظر بیولوژیکی فعال‌تر باشند (۶).

نانوذرات از طریق واکنش الکترواستاتیکی به غشای باکتری متصل می‌شوند و با ایجاد اختلال در آن، غشای باکتری را به صورت کامل تخریب می‌کنند (۹). یکی از مکانیسم‌های ضد میکروبی نانوذرات، واکنش با آمین و گروه‌های کربوکسیل لایهٔ پپتیدوگلیگان دیوارهٔ باکتری‌هاست که موجب آسیب دیدن دیوارهٔ سلولی آن‌ها می‌شود (۱۰). البته مکانیسم القای فعالیت ضدباکتریایی نانوذرات اکسید فلزی به‌طور کامل شناخته نشده است، اما میزان رهاسازی یون و متعاقباً تولید اکسیژن داخل سلولی (ROS: reactive oxygen species) دلیل اصلی فرض می‌شود (۱۱، ۱۲).

در این پژوهش اثر ضدمیکروبی نانوذرة اکسید روی و تأثیر آن در جلوگیری از تشکیل بیوفیلم میکروب‌های بیماری‌زای غذازاد اشريشیا کلی، استافیلکوکوس اورئوس، سالمونلا تیفی موریوم و باسیلوس سرئوس بررسی شد.

#### مواد و روش‌ها

در این مطالعه که در سال ۱۳۹۴ انجام گردید، نانوذرة اکسید روی (US Research Nanomaterials, Inc. USA) با درجهٔ خلوص ۹۹ درصد و اندازهٔ ذرات  $10\text{-}30$  نانومتر از شرکت پیشگامان نانو مواد ایرانیان (مشهد، ایران) خریداری شد. باکتری‌های مورد استفاده در این مطالعه شامل سوش‌های استاندارد اشريشیا کلی (ATCC 35218)، سالمونلا تیفی موریوم (ATCC14028)، استافیلکوکوس اورئوس (ATCC 6538) و باسیلوس سرئوس (ATCC 14579) بودند که همگی از گروه بهداشت مواد غذایی دانشکدهٔ دامپزشکی دانشگاه شیراز تهیه شدند. سوش باکتری‌ها در محیط کشت Tryptic Soy Broth (TSB، مرک، آلمان) حاوی  $30$  درصد گلیسیرین در دمای  $-80$  درجهٔ سلسیوس نگهداری می‌شدند. در زمان آزمایش، سوش‌ها در دمای محیط انجمادزدایی شدند و پس از کشت در TSB و گرمخانه‌گذاری به مدت  $24$  ساعت در دمای  $37$  درجهٔ سلسیوس،

کشورها همواره بدان توجه کرده‌اند و بی‌توجهی یا کم‌توجهی به آن می‌تواند صدمات جبران‌ناپذیری را به جامعه وارد کند. امروزه در همه جای دنیا، بیماری‌های ناشی از مصرف غذاهای آلوده یک مشکل اساسی به شمار می‌رود. با توجه به لزوم تأمین امنیت غذایی جامعه، تولید مواد غذایی سالم، ایمن و باکیفیت یکی از اهداف اصلی تولیدکنندگان مواد غذایی است. غذاهای فاسدشده، افرون برآسیب به سلامت مصرف کننده، به تولیدکننده نیز از لحاظ اقتصادی زبان می‌رسانند (۶).

در صنایع غذایی، اتصال باکتری‌های بیماری‌زا و فاسدکننده مواد غذایی با سطوح در تماس با مواد غذایی در فرآیندهای تولید و بسته‌بندی و نهایتی، تشکیل بیوفیلم‌های میکروبی می‌تواند منبع بالقوهٔ آلودگی محصولات و فرآوردهای غذایی و فرآوردهای بیماری‌ها باشد (۷). میکروارگانیسم‌ها می‌توانند در نتیجهٔ تماس با سطوح آلوده به آسانی انتقال یابند. از آنجایی که سطوح در تماس با مواد غذایی در ماشین‌آلات صنایع غذایی، بیشتر از جنس استیل ضدزنگ است، استفادهٔ پی‌درپی از این سطوح باعث ایجاد خراشیدگی و زبری می‌شود و بخشی از مواد غذایی روی این سطوح باقی می‌ماند و باعث افزایش توانایی باکتری‌ها در اتصال، رشد و تشکیل بیوفیلم می‌شود که در برابر عوامل پاک‌کننده و ضدغوفونی‌کننده مقاوم است. رشد این میکروارگانیسم‌ها روی تجهیزات و مواد غذایی باعث ایجاد آلودگی میکروبی در محصول می‌شود و درنتیجه به کاهش مدت‌زمان ماندگاری محصول و افزایش شیوع بیماری‌های ناشی از غذا می‌انجامد. مشکل دیگر بیوفیلم، تشکیل آن در مکان‌های مانند مبدل‌های حرارتی ماشین‌آلات صنایع غذایی است که باعث کاهش راندمان انتقال حرارتی می‌شود. افرون بر این، برخی از میکروارگانیسم‌های موجود در بیوفیلم، موجب خوردگی سطوح فلزی می‌شوند. سلول‌های بیوفیلم در مقایسه با سلول‌های آزاد، به عوامل باکتری‌کش و مواد ضدغوفونی‌کننده مقاومت بیشتری نشان می‌دهند و رشد باکتری‌ها به صورت بیوفیلم بر سطوح، شستشو و از بین بردن‌شان را مشکل می‌کند (۸). در صنایع غذایی شناسایی راه‌های جلوگیری از تشکیل بیوفیلم، روی سطوح در تماس با مواد غذایی و نیز راه‌های از بین بردن آن بسیار مهم است و برای سلامت عمومی جامعه حائز اهمیت می‌باشد. پاک‌سازی و ضدغوفونی مؤثر دستگاه‌ها و خطوط تولید در کارخانه‌های مواد غذایی، دو امر مهم و اساسی در کنترل بیوفیلم در صنعت غذا است. در این زمینه استفاده از ترکیبات ضدمیکروبی که مانع از تشکیل بیوفیلم باکتری‌های بیماری‌زای غذازاد می‌شوند، بسیار

(شامل ۱۶۰ میکرولیتر TSB، ۳۰ میکرولیتر محلول رزازورین و ۱۰ میکرولیتر سوسپانسیون باکتری) و کنترل منفی (شامل ۱۰۰ میکرولیتر استوک نانو ذره، ۷۰ میکرولیتر محیط کشت و ۳۰ میکرولیتر محلول رزازورین) در نظر گرفته شد. برای هر باکتری و هر کنترل سه تکرار در نظر گرفته شد.

میکروپلیت به مدت ۲۴ ساعت در دمای ۳۷ درجه سلسیوس در انکوباتور گرمخانه‌گذاری شد، سپس نتایج قرائت شد. تغییر رنگ رزازورین از بنفش به صورتی تا بی‌رنگ مورد مشاهده قرار گرفت و با رنگ کنترل نانوذره و کنترل هر باکتری مقایسه شد. در پایان برای هر باکتری، MIC به عنوان کمترین غلظت از نانوذره که مانع رشد آن باکتری شده بود، تعیین شد.

#### آزمایش بیوفیلم

سنجرش توانایی ایجاد بیوفیلم توسط باکتری‌های مورد مطالعه با میکروپلیت‌های ۹۶ حفره‌ای تهصیف و به روش توضیح‌داده شده توسط Tendolkar و همکاران انجام شد (۱۴). بدین منظور باکتری‌های مورد استفاده در محیط کشت TSB به مدت ۲۴ ساعت در دمای ۳۷ درجه سلسیوس گرمخانه‌گذاری شدند. در هر ردیف ۱۲ تایی از میکروپلیت، چاهک به هر کدام از باکتری‌ها اختصاص داده شد و ۴ چاهک باقی‌مانده به کنترل منفی (حاوی ۲۰۰ میکرولیتر TSB خالص و بدون باکتری) اختصاص یافت. ۱۰۰ میکرولیتر سوسپانسیون رقیق شده از هر باکتری با غلظت  $10^6$  CFU/mL به همراه ۱۰۰ میکرولیتر محیط کشت TSB در هر چاهک ریخته شد و میکروپلیت به مدت ۲۴ ساعت در دمای ۳۷ درجه سلسیوس قرار داده شد. پس از گذشت این مدت، میکروپلیت‌ها برگردانده شدند تا محیط کشت موجود در هر چاهک خالی شود، سپس چاهک‌ها سه بار با بافر فسفات استریل شسته شدند تا باکتری‌هایی که بیوفیلم تشکیل نداده‌اند، خارج شوند. پس از آن میکروپلیت‌ها به صورت وارونه به مدت یک ساعت در دمای اتاق رها شدند تا خشک شوند. ۲۰۰ میکرولیتر از محلول کریستال ویوله  $0/2$  درصد به هر چاهک افزوده شد و میکروپلیت، ۱۵ دقیقه بدون حرکت در دمای ۳۷ درجه سلسیوس قرار گرفت. آنگاه رنگ داخل چاهک‌ها خارج شد و پس از شستشو با بافر فسفات استریل، میکروپلیت‌ها در دمای اتاق خشک شدند. ۲۰۰ میکرولیتر از محلول  $30\%$  اسید استیک به هر چاهک افزوده شد تا رنگ باندشه با باکتری‌های تشکیل‌دهنده بیوفیلم استخراج شود.

در ادامه جذب نوری این محلول در طول موج ۵۹۵ نانومتر با میکروپلیت ریدر اندازه‌گیری شد و مطابق روش توضیح‌داده شده

مجددأ در محیط‌های کشت اختصاصی، شامل مک‌کانکی آگار (MacConkey agar)، سالمونلا شیگلا آگار (Salmonella agar)، برد پارکر آگار (Baird-Parker agar) و باسیلوس سرئوس سلکتیو آگار (Bacillus cereus Selective Agar) کشت و ۲۴ ساعت در دمای ۳۷ درجه سلسیوس گرمخانه گذاری شدند. یک روز پیش از آزمایش، یک پرگنۀ خالص از هر باکتری برداشته شد و به محیط TSB افزوده شد. در روز آزمایش، با استفاده از سرم فیزیولوژی استریل رقت مورد نیاز از سوسپانسیون باکتری تهیه شد.

#### تعیین حداقل غلظت مهارکنندگی رشد (Minimum Inhibitory Concentration)

##### استفاده از معرف رنگی رزازورین

برای این کار از میکروپلیت ۹۶ حفره‌ای استریل و روش Sarker و همکاران (۱۳)، البته با اندکی تغییرات، استفاده شد. در آغاز ۳۰۰ میلی‌گرم معرف رنگی رزازورین در ۴۰ میلی‌لیتر آب مقطّر حل و کاملاً یکنواخت شد. سپس با فیلتر سرنسنگی، استریل و به لولۀ استریل منتقل شد.

برای تهیۀ استوک نانوذره با غلظت  $16\text{ mg/mL}$ ،  $16\text{ mg/mL}$  از پودر نانوذره اکسید روی با محیط کشت TSB، به حجم ۱۰ میلی‌لیتر رسانده شد، آنگاه سوسپانسیون حاصل، در دمای ۱۲۱ درجه سلسیوس به مدت ۱۵ دقیقه اتوکلاو و به مدت ۳۰ دقیقه در دستگاه Sonicator همگن شد.

برای تهیۀ استوک هر باکتری، از باکتری‌های گرمخانه‌گذاری شده به مدت ۲۴ ساعت در دمای ۳۷ درجه سلسیوس، یک میلی‌لیتر درون ۹ میلی‌لیتر نرمال سالین استریل ریخته شد و چندین بار رقیق‌سازی شد تا غلظت  $10^7$  CFU/mL به دست آمد.

برای تعیین MIC نانوذره اکسید روی علیه چهار گونه باکتری، ابتدا در میکروپلیت ۹۶ حفره‌ای از غلظت  $16\text{ mg/mL}$  نانوذره در محیط کشت TSB رقت‌سازی دودویی با حجم ۱۰۰ میکرولیتر تهیۀ شد. به علاوه در یک چاهک هم نانوذره با غلظت  $16\text{ mg/mL}$  ریخته شد. سپس به هر چاهک ۱۰ میکرو لیتر سوسپانسیون باکتری با غلظت  $10^7$  CFU/mL،  $30\text{ }\mu\text{L}$  میکرولیتر محلول رزازورین و  $60\text{ }\mu\text{L}$  میکرولیتر محیط کشت TSB افزوده شد. درنهایت غلظت نانوذره در هر چاهک به ترتیب  $8, 4, 2, 1$  و  $0/5$  میلی‌گرم در میلی‌لیتر و غلظت باکتری  $10^5$  CFU به دست آمد.

کنترل‌های لازم شامل کنترل محیط کشت (شامل ۱۷۰

میکرولیتر TSB و  $30\text{ }\mu\text{L}$  میکرولیتر محلول رزازورین)، کنترل مثبت



۱۰ به اضافه ۱۰۰ میکرولیتر محیط کشت بود. چاهک انتهایی این ردیف هم برای کنترل محیط کشت در نظر گرفته شد که فقط ۲۰۰ میکرولیتر محیط کشت در آن ریخته شد. میکروپلیت به مدت ۲۴ ساعت در دمای ۳۷ درجه سلسیوس قرار یافت. پس از طی این مدت، محیط کشت موجود در هر چاهک خالی شد، سپس چاهکها ۳ بار با بافر فسفات استریل شسته شدند. پس از آن میکروپلیت‌ها به صورت وارونه به مدت ۱ ساعت در دمای اتاق قرار گرفتند تا خشک شدند. ۲۰۰ میکرولیتر از محلول کریستال ۰/۲ درصد به هر چاهک افزوده شد و میکروپلیت ۱۵ دقیقه بدون حرکت در دمای ۳۷ درجه سلسیوس قرار گرفت. پس از آن رنگ داخل چاهکها خارج شد و دوباره شستشو با بافر فسفات استریل انجام گرفت و میکروپلیت‌ها در دمای اتاق خشک شدند. ۲۰۰ میکرولیتر از محلول ۰/۳۰ اسید استیک به هر چاهک افزوده شد تا رنگ باندشه با باکتری‌های تشکیل‌دهنده بیوفیلم استخراج شود. سپس جذب نوری این محلول در طول موج ۵۹۵ نانومتر با میکروپلیت ریدر اندازه‌گیری شد.

محاسبه درصد مهار تشکیل بیوفیلم باکتری‌ها در حضور غلظت‌های مختلف نانوذرة اکسید روی درصد مهار تشکیل بیوفیلم های مختلف نانوذرة اکسید روی مطابق فرمول زیر محاسبه شد.  
(۱۶)

$$\frac{(\text{جب نمونه} \times \text{جب نمونه} \text{ باکتری}) - (\text{جب کنترل} \times \text{جب کنترل} \text{ هر باکتری})}{\text{جب کنترل} \text{ رشد هر باکتری}} = \text{درصد مهار تشکیل بیوفیلم}$$

### آنالیز آماری

در این پژوهش آزمون‌ها در سه تکرار انجام شد و نتایج به دست آمده با استفاده از روش آنالیز واریانس (ANOVA) تجزیه و تحلیل شدند. مقایسه میانگین‌ها با استفاده از آزمون چنددمانه‌ای دانکن در سطح احتمال ( $P < 0.05$ ) انجام پذیرفت. برای مقایسه تأثیر نانوذره بر مهار تشکیل بیوفیلم باکتری‌های گرم مثبت و منفی، از آزمون تی استیومنت (student's t test) استفاده شد. برای این منظور نرم‌افزار SPSS نسخه ۲۲ به کار گرفته شد.

توسط Stepanovic و همکاران، توانایی تشکیل بیوفیلم ارزیابی شد (۱۵). برای این کار میانگین جذب نوری کنترل منفی‌ها با سه برابر انحراف از معیار جذب نوری کنترل منفی‌ها جمع شد. عدد حاصل، معیار طبقه‌بندی مقادیر جذب نوری به دست آمده یا ODc (Optical Density cut-off value) نامیده شد. بر اساس آن، باکتری‌ها از نظر تشکیل بیوفیلم به چهار دسته تقسیم شدند:

الف: باکتری‌هایی که بدون بیوفیلم هستند؛ جذب نوری این ODc of no biofilm دسته کوچک‌تر و مساوی با ODc است (producer  $\leq$  ODc).

ب: باکتری‌هایی که تولید ضعیف بیوفیلم دارند؛ جذب نوری این دسته بزرگ‌تر از ODc و کوچک‌تر و مساوی با دو برابر آن است (ODc  $<$  OD of weak biofilm producer  $\leq$  2  $\times$  ODc).

پ: باکتری‌هایی که تولید متوسط بیوفیلم دارند؛ جذب نوری این دسته بزرگ‌تر از دو برابر ODc و کوچک‌تر و مساوی با چهار برابر آن است (OD of moderate biofilm producer  $<$  2  $\times$  ODc  $<$  4  $\times$  ODc).

ت: باکتری‌هایی که دارای بیوفیلم قوی هستند؛ جذب نوری این دسته بزرگ‌تر از چهار برابر ODc است (OD of strong biofilm producer  $>$  4  $\times$  ODc).

### تأثیر نانوذرة اکسید روی در مهار تشکیل بیوفیلم

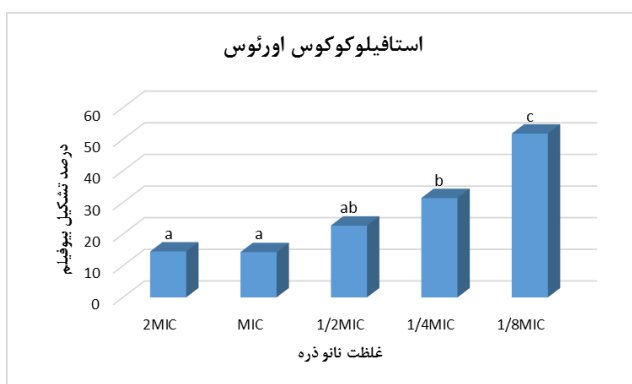
باکتری‌های مورد استفاده در محیط کشت TSB به مدت ۲۴ ساعت در دمای ۳۷ درجه سلسیوس گرمخانه گذاری شدند، سپس با استفاده از رقت‌سازی سری، استوک باکتری با غلظت ۱۰<sup>6</sup> CFU/mL تهیه شد. هر میکروپلیت برای دو باکتری مورداستفاده قرار گرفت و برای هر باکتری استوک نانوذره با غلظت ۴ برابر MIC (4MIC) تهیه شد. در هر ردیف، ۱۰۰ میکرولیتر از محیط کشت TSB درون چاهک‌ها ریخته شد، سپس در چاهک اول، ۱۰۰ میکرولیتر از استوک نانوذره با غلظت ۴ MIC ریخته شد و رقت‌سازی سری دوتایی انجام گرفت و در پایان، غلظت نانوذره در چاهک‌ها به ترتیب 2MIC، 1MIC، 1/2MIC و 1/4MIC شد. در هر چاهک ۱۰۰ میکرولیتر از استوک باکتری با غلظت ۱/8 MIC شد. در هر چاهک ۱۰<sup>6</sup> CFU/mL ریخته شد. این مراحل برای هر باکتری در ۳ ردیف (۳ تکرار) انجام شد. یک ردیف از میکروپلیت به عنوان کنترل نانوذره در نظر گرفته شد که تنها محیط کشت و غلظت‌های مختلف نانوذره در چاهک‌ها ریخته شد. در یک ردیف هم ۴ چاهک اول به عنوان کنترل رشد باکتری اول و ۴ چاهک دوم به عنوان کنترل رشد باکتری دوم در نظر گرفته شد که حاوی ۱۰۰ میکرولیتر باکتری با غلظت ۱CFU/mL

۰/۸۰۲ = ۴ODc، باکتری‌ها از نظر توانایی تشکیل بیوفیلم به دو دستهٔ ضعیف و متوسط تقسیم شدند (جدول شماره ۳).<sup>(۳)</sup>

جدول ۳. طبقه‌بندی باکتری‌ها از نظر تشکیل بیوفیلم بر اساس ODC (Optical Density cut-off value)

قدرت تشکیل بیوفیلم	باکتری
متواسط	/اشریشیا کلی
ضعیف	/استافیلوکوکوس اورئوس
ضعیف	/سالمونلا تایفی موریوم
ضعیف	/باسیلوس سرئوس

در صد تشکیل بیوفیلم توسط باکتری‌های موردمطالعه در حضور غلظت‌های مختلف نانوذره اکسید روی درصد تشکیل بیوفیلم توسط باکتری‌های موردمطالعه در حضور غلظت‌های مختلف نانوذره اکسید روی در نمودارهای ۱ تا ۴ نشان داده شده است. همان‌طور که در نمودارها مشاهده می‌شود، با کاهش غلظت نانوذره، توانایی تشکیل بیوفیلم توسط باکتری‌ها افزایش یافت، ولی این افزایش در غلظت MIC ۱/۲ در باکتری‌های /استافیلوکوکوس اورئوس و /اشریشیا کلی در مقایسه با غلظت MIC و 2MIC تفاوت آماری معنی‌داری را نشان نداد باکتری‌ها را مهار نکند، ولی موجب بروز اختلالاتی در توانایی تشکیل بیوفیلم توسط آن‌ها شود.



نمودار ۱. درصد تشکیل بیوفیلم توسط باکتری /استافیلوکوکوس اورئوس در حضور غلظت‌های مختلف از نانوذره اکسید روی. حروف غیرمشابه نشانگر تفاوت آماری معنی‌دار هستند.

#### یافته‌ها

تعیین MIC نانوذره با استفاده از معرف رنگی رذازورین

کمترین غلظت (میلی‌گرم در میلی‌لیتر) مهارکننده نانوذره اکسید روی بر باکتری‌های موردبررسی در جدول شماره ۱ نشان داده شده است.

جدول ۱. کمترین غلظت (میلی‌گرم در میلی‌لیتر) مهارکننده نانوذره اکسید روی بر باکتری‌های بررسی شده

MIC	باکتری
۱	/اشریشیا کلی
≤۰/۵	/استافیلوکوکوس اورئوس
۱	/سالمونلا تایفی موریوم
۲	/باسیلوس سرئوس

سنجهش توانایی ایجاد بیوفیلم توسط باکتری‌های موردمطالعه

جدول شماره ۲ جذب نوری باکتری‌ها و کنترل منفی را در طول موج ۵۹۵ نانومتر نشان می‌دهد.

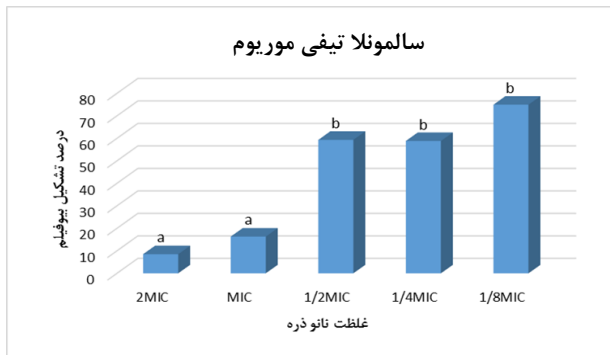
جدول ۲. جذب نوری باکتری‌ها و کنترل منفی در طول موج ۵۹۵ نانومتر

نمونه	جذب نوری
/اشریشیا کلی	۰/۸۰۸±۰/۰۷۱
/استافیلوکوکوس اورئوس	۰/۵۵۲±۰/۰۵۳
/سالمونلا تایفی موریوم	۰/۵۱۱±۰/۰۱۴
/باسیلوس سرئوس	۰/۴۳۵±۰/۰۳۴
کنترل منفی	۰/۲۵۹±۰/۰۱۴

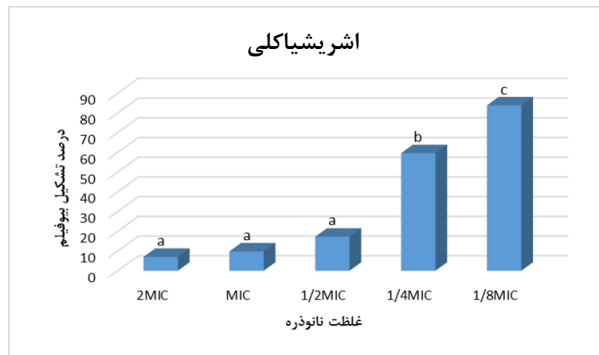
اعداد میانگین ± انحراف از معیار به دست آمده از جذب نوری ۸ تکرار از نمونه های بررسی شده را نشان می‌دهند.

برای سنجهش توانایی ایجاد بیوفیلم توسط باکتری‌های موردمطالعه، میانگین جذب نوری کنترل منفی با سه برابر انحراف از معیار جذب نوری کنترل منفی جمع شد و عدد حاصل، معیار طبقه‌بندی مقادیر جذب نوری به دست آمده (ODc) Optical ODc = ۲ODc، (ODc = ۰/۴۰۱)، (ODc = ۰/۸۰۲) هر باکتری با مقادیر مختلف





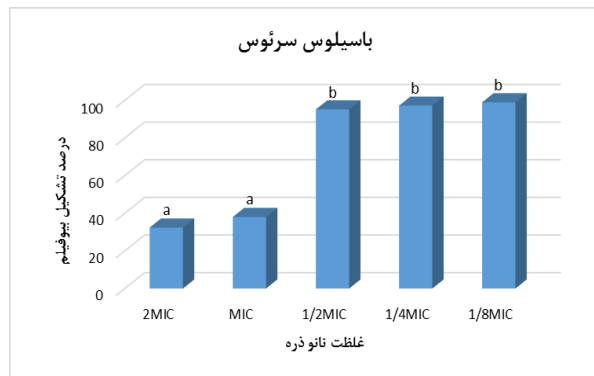
نمودار ۴. درصد تشكیل بیوفیلم توسط باکتری سالمونلا تیفی موریوم در حضور غلظت‌های مختلف از نانوذرة اکسید روی. حروف غیر مشابه نشانگر تفاوت آماری معنی دار هستند.



نمودار ۲. درصد تشكیل بیوفیلم توسط باکتری اشریشیا کلی در حضور غلظت‌های مختلف از نانوذرة اکسید روی. حروف غیر مشابه نشانگر تفاوت آماری معنی دار هستند.

### درصد مهار تشكیل بیوفیلم باکتری‌ها در حضور غلظت‌های مختلف نانوذرة اکسید روی

درصد مهار تشكیل بیوفیلم باکتری‌ها در حضور غلظت‌های مختلف نانوذرة اکسید روی در جدول شماره ۴ نشان داده شده است. همان‌طور که در جدول دیده می‌شود، نانوذرة اکسید روی در غلظت‌های زیر (Sub inhibitory concentration) MIC یا در غلظت‌های Sub-MIC نیز توانایی مهار تشكیل بیوفیلم را داشت و حتی در باکتری‌های استافیلکوکوس اورئوس و اشریشیا کلی، غلظت  $\frac{1}{2}$ MIC نانوذرة در مقایسه با غلظت MIC و 2 MIC ۲ آن، تفاوت آماری معنی داری را در توانایی مهار تشكیل بیوفیلم نشان نداد ( $P > 0.05$ ).



نمودار ۳. درصد تشكیل بیوفیلم توسط باکتری باسیلوس سرئوس در حضور غلظت‌های مختلف از نانوذرة اکسید روی. حروف غیر مشابه نشانگر تفاوت آماری معنی دار هستند.

جدول شماره ۴. میانگین درصد مهار تشكیل بیوفیلم باکتری‌ها در حضور غلظت‌های مختلف نانوذرة اکسید روی

باکتری	$\frac{1}{8}$ MIC	$\frac{1}{4}$ MIC	$\frac{1}{2}$ MIC	MIC	2 MIC
اشریشیا کلی	$16/17 \pm 7/21^{\text{cB}}$	$40/41 \pm 18/84^{\text{bB}}$	$82/75 \pm 18/86^{\text{aA}}$	$90/20 \pm 0/25^{\text{aA}}$	$92/98 \pm 5/85^{\text{aA}}$
استافیلکوکوس اورئوس	$48/22 \pm 10/5^{\text{cA}}$	$68/59 \pm 24/50^{\text{bA}}$	$77/30 \pm 24/64^{\text{abA}}$	$85/69 \pm 7/42^{\text{aA}}$	$85/50 \pm 2/21^{\text{aA}}$
سالمونلا تیفی موریوم	$25/02 \pm 1/51^{\text{bB}}$	$41/15 \pm 7/97^{\text{bB}}$	$40/66 \pm 7/27^{\text{bB}}$	$83/65 \pm 15/24^{\text{aAB}}$	$91/47 \pm 4/8^{\text{aA}}$
باسیلوس سرئوس	$11/04 \pm 0/36^{\text{bC}}$	$2/82 \pm 1/88^{\text{bC}}$	$4/80 \pm 1/30^{\text{bC}}$	$61/96 \pm 16/15^{\text{aB}}$	$67/60 \pm 4/40^{\text{aB}}$

اعداد میانگین سه تکرار  $\pm$  انحراف از معیار هستند. حروف غیر مشابه کوچک و بزرگ به ترتیب نشانگر تفاوت آماری معنی دار در هر ردیف و ستون هستند.

در غلظت  $2\text{MIC}$ ، در بقیه موارد تفاوت آماری معنی داری دیده نشد.

درصد مهار تشكیل بیوفیلم باکتری‌های گرم منفی و گرم مثبت در حضور غلظت‌های مختلف نانوذرة اکسید روی در جدول شماره ۵ نشان داده شده است. مطابق نتایج، به غیراز درصد مهار

جدول شماره ۵. میانگین  $\pm$  انحراف معیار، درصد مهار تشكیل بیوفیلم باکتری‌های گرم منفی و گرم مثبت در حضور غلظت‌های مختلف نانوذرة اکسید روی

باکتری	$\frac{1}{8}$ MIC	$\frac{1}{4}$ MIC	$\frac{1}{2}$ MIC	MIC	2MIC
گرم منفی	$20/60 \pm 6/72^{\text{a}}$	$40/78 \pm 12/94^{\text{a}}$	$61/70 \pm 26/35^{\text{a}}$	$86/93 \pm 10/29^{\text{a}}$	$92/23 \pm 4/85^{\text{a}}$
گرم مثبت	$24/63 \pm 26/68^{\text{a}}$	$35/70 \pm 36/80^{\text{a}}$	$41/05 \pm 39/74^{\text{a}}$	$73/82 \pm 17/18^{\text{a}}$	$76/55 \pm 10/35^{\text{b}}$

حروف غیر مشابه نشانگر تفاوت آماری معنی دار در هر ستون هستند.

پخت

Mostafa در مطالعه‌ای MIC نانوذره اکسید روی را برای باسیلوس سرئوس، کمتر از ۱۰ و برای استافیلوقوکوس اورئوس، کمتر از ۵ میکروگرم بر میلی لیتر گزارش کرد (۲۵). در مطالعه حاضر نیز MIC نانوذره برای باسیلوس سرئوس بیشتر از استافیلوقوکوس اورئوس بود.

در مطالعه Sinha و همکاران، باکتری گرم منفی انترو باکتر حساسیت بیشتری را در مقایسه با باکتری گرم مثبت باسیلوس سوبتیلیس نشان داد. آن‌ها علت مقاوم بودن باکتری گرم مثبت باسیلوس سوبتیلیس را به وجود لایه پپتیدوگلیکانی ضخیم در این باکتری نسبت دادند (۲۶). در مطالعه پیش رو نیز باسیلوس سرئوس با بیشترین MIC (۲ میلی‌گرم در میلی‌لیتر)، مقاوم‌ترین باکتری در پراپر نانوذره اکسید روی بود.

تفاوت MIC در مطالعات مختلف ممکن است به دلیل تفاوت در روش‌های آماده‌سازی نانوذره، اندازه نانوذره و تفاوت در سوش‌های باکتری‌های موردمطالعه باشد (۲۷). حساسیت باکتری‌ها به نانوذرات فقط به ساختار دیواره سلولی مربوط نمی‌شود، بلکه ممکن است به پراکسیداسیون چربی و تولید گونه‌های فعال اکسیژن نیز مربوط باشد.

در مطالعه‌ای تأثیر روی در جلوگیری از رشد و تشكیل بیوفیلم توسط بعضی باکتری‌های بیماری‌زا در خوک بررسی شد و نتایج آن نشان داد که غلظت‌های nonbactericidal روی، توانایی مهار تشكیل بیوفیلم به وسیله بعضی از باکتری‌های گرم مثبت و گرم منفی بیماری‌زا در خوک همچون استافیلیوکوکوس اورئوس، اشریشیا کلی و سالمونلا تیفی موریوم را داراست (۲۸). این مطالعه نشان داد که افزودن غلظت‌های sub-bactericidal روی (ZnO, ZnCl<sub>2</sub>) به طور مؤثری تشكیل بیوفیلم توسط سالمونلا تیفی موریوم را مهار می‌کند که این اثر مهاری وابسته به دوز است. به علاوه تشكیل بیوفیلم توسط استافیلیوکوکوس اورئوس و اشنشیا کلر، این به طور ضعیف، مهار می‌کند (۲۸).

در مطالعه حاضر پس از تأیید اثر ضدمیکروبی نانوذره اکسید روی بر چهار باکتری بیماری‌زای غذازاد مورد مطالعه، تأثیر آن بر مهار تشکیل بیوفیلم آن باکتری‌ها نیز بررسی شد. نتایج نشان داد که نانوذره اکسید روی در غلظت‌های MIC و 2MIC توانایی بالایی در مهار تشکیل بیوفیلم به وسیله استافیلوکوکوس اورئوس، اشریشیا کلی و سالمونلا تیفی موریوم دارد و از نظر آماری هیچ‌گونه تفاوت آماری معنی‌داری در میانگین درصد مهار تشکیل بیوفیلم توسط این باکتری‌ها در حضور نانوذره اکسید روی مشاهده نشد. در مطالعه حاضر درصد مهار تشکیل بیوفیلم

اکسید روی در حال حاضر توسط اداره غذا و داروی آمریکا (FDA) به عنوان یک ماده ایمن (GRAS, Generally Recognized as Safe (RAS)) به رسمیت شناخته شده و به عنوان افزودنی غذایی استفاده می‌شود (۱۷).

نانوذره اکسید روی در مقایسه با پودر اکسید روی اثر ضد میکروبی بیشتری بر باکتری‌های بیماری‌زا<sup>۱</sup> غذایی دارد و اندازه کوچک نانوذرات سنتز شده نقش بسزایی در تشدید اثر ضد میکروبی آن‌ها دارند (۱۸، ۱۹)؛ بنابراین در پژوهش پیش رو، از نانوذره اکسید روی استفاده شد.

مکانیسم اصلی تأثیر نانوذرات بر باکتری‌ها از طریق آسیب به DNA، پروتئین و تخریب دیواره سلولی است (۲۰). نانوذره اکسید روی دارای خاصیت ضد باکتریایی علیه باکتری‌های گرم مثبت و گرم منفی است. رفتار فتوکاتالیستی اکسید روی می-تواند منجر به تولید انواع اکسیژن فعال شود که قادر به از بین بردن غشای سلول باکتریایی است (۲۱). نانوذره اکسید روی یکپارچگی غشای سلول باکتریایی را مختل می‌کند، باعث کاهش سطح آب‌گریزی سلول می‌شود و تنظیم رونویسی از ژن‌های مقاومت در باد است. اکسیداتیه، کاهش، مردده (۲۲).

نتایج مطالعه حاضر نشان داد که نانوذره اکسید روی بر باکتری های بیماری زای غذازاد گرم مثبت و گرم منفی موردمطالعه اثر ضد میکروبی دارد. کمترین غلظتی از نانوذره که توانست رشد هر باکتری را مهار کند، برای باکتری اشريشیا کلی، استافیلوکوکوس اورئوس، سالمونلا تیفی موریوم و باسیلوس سرئوس، به ترتیب ۱،  $۰/۵$  و  $۲$  میلی گرم در میلی لیتر به دست آمد.

Emami-Karvani و همکاران، در پژوهش خود، MIC نانوذره اکسید روی را برای اشریشیا کلی و استافیلوکوکوس اورئوس به ترتیب ۱ و  $1/5$  میلی گرم در میلی لیتر گزارش کردند (۲۳) که این نتیجه با نتیجه تحقیق ما همخوانی دارد.

Akiyama و همکاران در مطالعه خود به این نتیجه رسیدند که استافیلوکوکوس اورئوس به دلیل تفاوت ترکیبات دیواره سلولی اش نسبت به اشريشيا کلی، در مقابل استرس‌های شیمیایی مانند حضور آنتی‌بیوتیک، از حساسیت بالاتری برخوردار است (۲۴). در مطالعه ما نیز استافیلوکوکوس اورئوس در مقایسه با اشريشيا کلی حساسیت بیشتری نسبت به نانوذره اکسید روی نشان داد.

غلظت‌های کمتر از MIC نیز تا حدودی توانست تشکیل بیوفیلم را مهار کند. در این تحقیق، درصد تشکیل بیوفیلم توسط استافیلوکوکوس اورئوس و اشريشیا کلی در مجاورت غلظت‌های MIC و  $\frac{1}{2}$ MIC از نانوذره اکسید روی تفاوت آماری معنی داری را نشان ندادند (نمودارهای شماره ۱ و ۲)، این نتیجه بیانگر آن است که اگرچه حضور نانوذره اکسید روی در غلظت کمتر از MIC ممکن است مانع از رشد باکتری نشود، اما با ایجاد اختلالاتی در توانایی ایجاد بیوفیلم در باکتری، تشکیل بیوفیلم توسط آن را کاهش می‌دهد که البته این مسئله نیاز به تحقیق بیشتری دارد.

#### نتیجه گیری

نتایج پژوهش حاضر بیانگر اثر ضدمیکروبی نانوذره اکسید روی در مهار تشکیل بیوفیلم باکتری‌های بیماری‌زای غذایی موردمطالعه بود که می‌تواند راهکار مناسبی در استفاده از نانوذره اکسید روی، برای پاکسازی سطوح، دستگاه‌ها و خطوط تولید در کارخانه‌های مواد غذایی ایجاد کند. از آنجایی که تاکنون مطالعات زیادی در رابطه با تأثیر نانوذره اکسید روی بر تشکیل بیوفیلم باکتری‌های بیماری‌زای غذایی صورت نگرفته است، با توجه به اهمیت این باکتری‌ها در سلامت جامعه، انجام مطالعات بیشتر توصیه می‌شود.

#### تقدیر و تشکر

نویسندهای مقاله از معاونت پژوهشی دانشگاه شهرکرد به خاطر حمایت‌های مالی‌ای که در انجام این تحقیق کرده‌اند، سپاسگزارند.

#### تعارض منافع

میان نویسندهای هیچ‌گونه تعارض منافعی وجود ندارد.

نسبت به مطالعه فوق بیشتر بود که این مسئله را می‌توان به علت استفاده از پودر نانوذره اکسید روی به جای پودر اکسید روی دانست که تأثیر بیشتری در مهار تشکیل بیوفیلم باکتری‌ای دارد. نانوذره اکسید روی در مقایسه با پودر اکسید روی اثر ضد میکروبی بیشتری بر باکتری‌های بیماری‌زای غذایی دارد، اندازه کوچک نانوذرات سنتزشده نقش بسزایی در تشدید اثر ضد میکروبی آن‌ها دارد (۱۸، ۱۹).

تاکنون تحقیقات کمی در مورد تأثیر نانوذره اکسید روی بر مهار تشکیل بیوفیلم باکتری‌ها گزارش شده است (۲۰، ۳۰، ۳۱)، و مطالعات درباره تأثیر این نانوذره بر مهار تشکیل بیوفیلم باکتری‌های بیماری‌زای غذایی محدود است.

Eshed و همکاران پوششی از نانوذره اکسید روی و اکسید مس بر روی دندان درست کردند و نتایج تحقیق آن‌ها حاکی از آن بود که این پوشش ۸۰ تا ۲۰ درصد تشکیل بیوفیلم را کاهش می‌دهد و مکانیسم این پوشش را نفوذ در باکتری و تولید رادیکال اکسیژن داخل سلولی که موجب افزایش پراکسیداسیون چربی و درنتیجه مرگ سلول می‌شود، بیان کردند (۳۲).

Akhil و همکاران فعالیت ضد میکروبی و ضد بیوفیلمی نانوذره اکسید روی علیه استافیلوکوکوس اورئوس MTCC3160 و سودوموناس آئروژینوز MTCC1688 را ارزیابی کردند. نتیجه پژوهش آن بود که این نانوذره، فعالیت ضد میکروبی و ضد بیوفیلمی خوبی دارد (۳۳).

در پژوهش حاضر، بین غلظت‌های MIC و  $\frac{1}{2}$ MIC نانوذره اکسید روی، تفاوت آماری معنی داری در کاهش ایجاد بیوفیلم باکتری‌های موردمطالعه دیده نشد. درصد مهار تشکیل بیوفیلم در غلظت MIC نانوذره علیه اشريشیا کلی، استافیلوکوکوس اورئوس، سالمونلا تیفی موریوم و باسیلوس سرئوس، به ترتیب ۹۰/۲۰، ۸۰/۶۵ و ۶۱/۹۶ و ۸۵/۶۵٪ درصد محاسبه شد. نانوذره اکسید روی در

#### References

1. Mah TF, O'Toole GA. Mechanisms of biofilm resistance to antimicrobial agents. *Trends Microbiol* 2001; 9 (1): 34-9.
2. Lear G, Lewis GD, editors. *Microbial biofilms: current research and applications*. Horizon Scientific Press; 2012.
3. Costerton JW. Overview of microbial biofilms. *J Ind Microbiol* 1995; 15(3): 137-40.
4. Costerton JW, Irvin RT, Cheng KJ. The bacterial glycocalyx in nature and disease. *Ann Rev Microbiol* 1981; 35 (1): 299-324.
5. Parsek MR, Fuqua C. Biofilms 2003: emerging themes and challenges in studies of surface-associated microbial life. *J Bacteriol* 2004; 186 (14): 4427-40.
6. Burt S. Essential oils: their antibacterial properties and potential applications in foods—a review. *Int J Food Microbiol* 2004; 94 (3): 223-53.
7. Bryers JD. *BiofilmsII: process analysis and application*. Wiley, New York 2000; 327-360.
8. Dunsmore DG, Twomey A, Whittlestone WG, Morgan HW. Design and performance of systems for cleaning product-contact surfaces of food equipment: a review. *J Food Protect* 1981; 44 (3): 220-40.

9. Whitesides GM. Nanoscience, nanotechnology, and chemistry. *Small* 2005; 1(2):172-9.
10. Bogdanović U, Lazić V, Vodnik V, Budimir M, Marković Z, Dimitrijević S. Copper nanoparticles with high antimicrobial activity. *Mater Lett* 2014; 128: 75-8.
11. Beranová J, Seydllová G, Kozak H, Benada O, Fišer R, Artemenko A, Konopásek I, Kromka A. Sensitivity of bacteria to diamond nanoparticles of various size differs in gram-positive and gram-negative cells. *FEMS Microbiol Lett* 2014; 351 (2):179-86.
12. Huh AJ, Kwon YJ. "Nanoantibiotics": a new paradigm for treating infectious diseases using nanomaterials in the antibiotics resistant era. *J Control Release* 2011; 156 (2):128-45.
13. Sarker SD, Nahar L, Kumarasamy Y. Microtitre plate-based antibacterial assay incorporating resazurin as an indicator of cell growth, and its application in the in vitro antibacterial screening of phytochemicals. *Methods* 2007; 42 (4):321-4.
14. Tendolkar PM, Baghdyan AS, Gilmore MS, Shankar N. Enterococcal surface protein, Esp, enhances biofilm formation by *Enterococcus faecalis*. *Infect Immun* 2004; 72 (10):6032-9.
15. Stepanović S, Vuković D, Hola V, Bonaventura GD, Djukić S, Ćirković I, Ruzicka F. Quantification of biofilm in microtiter plates: overview of testing conditions and practical recommendations for assessment of biofilm production by staphylococci. *Apmis* 2007; 115 (8):891-9.
16. Nikolić M, Vasić S, Đurđević J, Stefanović O, Čomić L. Antibacterial and anti-biofilm activity of ginger (*Zingiber Officinale* (Roscoe)) ethanolic extract. *Kragujevac J Sci* 2014; 36:129-36.
17. Espitia PJ, Soares ND, dos Reis Coimbra JS, de Andrade NJ, Cruz RS, Medeiros EA. Zinc oxide nanoparticles: synthesis, antimicrobial activity and food packaging applications. *Food Bioprocess Tech* 2012; 5(5):1447-64.
18. Esmailzadeh H, Sangpour P, Khaksar R, Shahraz F. The effect of ZnO nanoparticles on the growth of *Bacillus subtilis* and *Escherichia coli* O157:H7. *J Food Technol Nutr* 2014; 11(3): 21-28. [in Persian]
19. Mohammadbeigi P, Sodagar M, Mazandarani M, Hoseini SS. An investigation of antibacterial activity of ZnO nanoparticle on *Streptococcus mutiae* and *Escherichia coli*. *Qom Univ Med Sci J* 2016;55-63.
20. Zhang L, Jiang Y, Ding Y, Daskalakis N, Jeuken L, Povey M, O'Neill AJ, York DW. Mechanistic investigation into antibacterial behaviour of suspensions of ZnO nanoparticles against *E. coli*. *J Nanopart Res* 2010; 12(5):1625-36.
21. Li X, Xing Y, Jiang Y, Ding Y, Li W. Antimicrobial activities of ZnO powder-coated PVC film to inactivate food pathogens. *Int J Food Sci Tech* 2009; 44(11):2161-8.
22. Pati R, Mehta RK, Mohanty S, Padhi A, Sengupta M, Vaseeharan B, Goswami C, Sonawane A. Topical application of zinc oxide nanoparticles reduces bacterial skin infection in mice and exhibits antibacterial activity by inducing oxidative stress response and cell membrane disintegration in macrophages. *Nanomed-Nanotechnol* 2014; 10(6):1195-208.
23. Emami-Karvani Z, Chehrazi P. Antibacterial activity of ZnO nanoparticle on gram-positive and gram-negative bacteria. *Afr J Microbiol Res* 2011; 5(12):1368-73.
24. Akiyama H, Yamasaki O, Kanzaki H, Tada J, Arata J. Effects of zinc oxide on the attachment of *Staphylococcus aureus* strains. *J Dermatol Sci* 1998; 17(1):67-74.
25. Mostafa AA. Antibacterial activity of Zinc oxide nanoparticles against toxigenic *Bacillus cereus* and *Staphylococcus aureus* isolated from some Egyptian food. *Int J Microbiol Res* 2015; 6(2):145-54.
26. Sinha R, Karan R, Sinha A, Khare SK. Interaction and nanotoxic effect of ZnO and Ag nanoparticles on mesophilic and halophilic bacterial cells. *Bioresource Technol* 2011; 102 (2):1516-20.
27. Yousef JM, Danial EN. In vitro antibacterial activity and minimum inhibitory concentration of zinc oxide and nano-particle zinc oxide against pathogenic strains. *J Health Sci* 2012; 2(4):38-42.
28. Wu C, Labrie J, Tremblay YD, Haine D, Mourez M, Jacques M. Zinc as an agent for the prevention of biofilm formation by pathogenic bacteria. *J Appl Microbiol* 2013;115(1):30-40.
29. Lee JH, Kim YG, Cho MH, Lee J. ZnO nanoparticles inhibit *Pseudomonas aeruginosa* biofilm formation and virulence factor production. *Microbiol Res* 2014; 169(12):888-96.
30. Vijayakumar S, Vinoj G, Malaikozhundan B, Shanthi S, Vaseeharan B. *Plectranthus amboinicus* leaf extract mediated synthesis of zinc oxide nanoparticles and its control of methicillin resistant *Staphylococcus aureus* biofilm and blood sucking mosquito larvae. *Spectrochim Acta A* 2015; 137:886-91.
31. Dhillon GS, Kaur S, Brar SK. Facile fabrication and characterization of chitosan-based zinc oxide nanoparticles and evaluation of their antimicrobial and antibiofilm activity. *Int Nano Lett* 2014; 4(2):1-1.
32. Eshed M, Lellouche J, Gedanken A, Banin E. A Zn-doped CuO nanocomposite shows enhanced antibiofilm and antibacterial activities against *streptococcus mutans* compared to nanosized CuO. *Adv Funct Mater* 2014; 24(10):1382-90.
33. Akhil K, Jayakumar J, Gayathri G, Khan SS. Effect of various capping agents on photocatalytic, antibacterial and antibiofilm activities of ZnO nanoparticles. *J Photoch Photobio B* 2016; 160:32-42.

